

Araştırma Makalesi - Research Article

## Geleneksel Donatılmış Betonarme Bağ Kırışlerin Şekil Değiştirme Esaslı Hasar Sınırlarının Araştırılması

Rohullah Jamal<sup>1\*</sup>, S. Bahadır Yüksel<sup>2</sup>

Geliş / Received: 30/04/2020

Revize / Revised: 22/09/2020

Kabul / Accepted: 01/10/2020

### ÖZ

Türkiye Bina Deprem Yönetmeliği 2018 (TBDY, 2018)'de geleneksel donatılmış betonarme bağ kırışları için öngörülen şekil değiştirme esaslı hasar sınırları analitik olarak incelenmiştir. Geleneksel donatılmış betonarme bağ kırışlarının çekme ve basınç donatısı oranı, enine donatı çapı ve aralığı sabit tutulmuş net açıklık / derinlik oranı ve beton basınç dayanımını değiştirilerek SAP 2000 programı ile moment-eğrilik değerleri hesaplanmıştır. Bu çalışmada; gerçek malzeme davranışları esas alınmıştır. Elde edilen moment-eğrilik ilişkilerinden betonarme bağ kırışlarının elastik ötesi davranışları incelenmiştir. Geleneksel donatılmış betonarme bağ kırışi modelleri için moment-eğrilik ilişkilerinden elde edilen veriler kullanılarak TBDY, (2018)'de verilen hasar sınır değerleri betonarme bağ kırış modelleri için hesaplanmıştır. Şekil değiştirme değerleri TBDY (2018)'de tanımlanmış olan göçmenin önlenmesi (GÖ), kontrollü hasar (KH) ve sınırlı hasar (SH) performans seviyeleri için hesaplanmıştır. Geleneksel donatılmış betonarme bağ kırışları için üç ayrı hasar sınırı ve bu hasar sınırlarına karşı gelen birim şekil değiştirme değerleri incelenmiştir. Geleneksel donatılmış betonarme bağ kırışlarında farklı performans düzeyi için beton ve donatı çeliği birim şekil değiştirmeleri ve plastik dönümleri hesaplanarak performans düzeyleri araştırılmıştır. GÖ ve KH performans düzeyleri için plastik dönümlerin hasar sınırları; akma eğriliği, kopma eğriliği, plastik mafsal uzunluğu, kesme açıklığı ve boyuna donatı çapının fonksiyonu olarak tanımlanmıştır. Bu çalışmada; geleneksel donatılmış bağ kırışlarının beton basınç dayanımının akma momentine ( $M_y$ ), GÖ ve KH performans düzeyleri için plastik dönme sınırlarına ( $\theta_p^{(KH)}$  ve  $\theta_p^{(GÖ)}$ ) etkili olduğu gözlemlenmiştir. Net açıklık derinlik oranın ( $l_n/h$ ) artırılması; geleneksel donatılmış betonarme bağ kırışlarının GÖ ve KH performans düzeyleri için izin verilen plastik dönme sınırlarına ( $\theta_p^{(KH)}$  ve  $\theta_p^{(GÖ)}$ ) ve akma durumu için yer değiştirmiş eksen dönmesi üzerine ( $\theta_y$ ) etkili olduğunu ispatlanmıştır.

**Anahtar Kelimeler-** Moment-Eğrilik, Performans Düzeyleri, Hasar Sınırı, Birim Şekil Değiştirme Sınırı, Plastik Dönme

<sup>1</sup>\*Sorumlu yazar iletişim: [jamal.rohullah@gmail.com](mailto:jamal.rohullah@gmail.com) (<https://orcid.org/0000-0001-5987-8502>)

Konya Teknik Üniversitesi, Mühendislik ve Doğa Bilimleri Fakültesi, İnşaat Mühendisliği Bölümü, Konya, Türkiye

<sup>2</sup>İletişim: [sbyuksel@ktun.edu.tr](mailto:sbyuksel@ktun.edu.tr) (<https://orcid.org/0000-0002-4175-1156>)

Konya Teknik Üniversitesi, Mühendislik ve Doğa Bilimleri Fakültesi, İnşaat Mühendisliği Bölümü, Konya, Türkiye

## Investigation of Damage Limits of Conventional Reinforced Concrete Coupling Beams

---

### ABSTRACT

---

Deformation based damage limits of conventional reinforced concrete coupling beams were analytically investigated considering the Turkish Seismic Building Code 2018 (TSC, 2018). Moment-curvature values of the conventional reinforced concrete beams were calculated with the SAP 2000 programs by taking constant tension and compression reinforcement ratios, transverse reinforcement diameter and spacing's and changing the net span/depth ratio and concrete compressive strengths. In this study, real material behaviour was taken into account. Inelastic behaviors of reinforced concrete coupling beams are investigated from the moment-curvature relations. The damage limit values given in TSC (2018) were calculated for reinforced concrete coupling beam models using the data obtained from moment-curvature relationships of conventionally reinforced concrete coupling beams models. Strain values are calculated for the collapse prevention (CP), controlled damage (CD) and limited damage (LD) performance levels defined in TSC (2018). Three different damage limits and unit strain values corresponding to these damage limits were examined for conventionally reinforced concrete coupling beams. The performance levels of the concrete and reinforcement steel deformations and plastic rotations were calculated for different performance levels of conventional reinforced concrete coupling beams. Damage limits of plastic rotations of the CP and CD performance levels are defined as functions of yield curvature, maximum curvature, plastic hinge length, shear length, and longitudinal reinforcement diameter. In this study; it has been observed that the concrete compressive strength affect the yield moment ( $M_y$ ), plastic rotation limits ( $\theta_p^{(CD)}$  and  $\theta_p^{(CP)}$ ) for performance levels of CP and CD of conventional reinforced coupling beams. It is proven that the net span depth to ratio ( $l_n/h$ ) effect the; plastic rotation limits ( $\theta_p^{(CD)}$  and  $\theta_p^{(CP)}$ ) of the CP and CD performance levels and yield chord rotation ( $\theta_y$ ) for the conventional reinforced concrete coupling beams.

---

**Keywords-** Moment-Curvature, Performance Levels, Damage Limits, Strain Limits, Plastic Rotation

---

## I. GİRİŞ

Yapı taşıyıcı sisteminin doğrusal sınır ötesindeki kapasitesinin de dikkate alındığı hesap yöntemleri son yıllarda yaygınlaşmıştır. Yapının dayanım ve yer değiştirme kapasitelerini ortaya çıkararak, göçme aşamasına kadar olacak hasarların adım adım izlenebildiği doğrusal olmayan hesap yöntemleri kullanılarak, yapı davranışları daha iyi anlaşılmaktır. Performans esaslı değerlendirme yönteminin en önemli aşamalarından birisi yapısal elemanların her birinin hasar düzeylerinin belirlenmesidir. Yapı performansı, amaçlanan deprem istemi etkisinde yapıda oluşması beklenen hasar durumu ile ilişkilidir. Doğrusal olmayan değerlendirme yöntemi ile analiz edilen yapılardaki yapısal elemanların kesitlerinde oluşan şekil değiştirme değerlerinin, yürürlükte olan yönetmelikteki kesit hasar seviyesine tekabül eden şekil değiştirme üst sınır değerleri ile kıyaslanması ile kesitin hasar seviyesi elde edilir. Dolayısı ile yapıların deprem güvenliğini belirlemeye kesit hasar sınır değerlerinin doğru bir şekilde elde edilmesi oldukça önem arz etmektedir. [1, 2].

Bağ kirişleri genellikle orta ve yüksek binalarda, merdivenlerin ve asansörlerin çevresinde bulunan perde duvarların bağlanması amacıyla kullanılmaktadır. Bağ kirişlerinin deformasyon yapabilmesi elemanın kesme deformasyonu yapabilme kapasitesine bağlıdır. Bağ kirişleri iki perde duvarı birleştirerek kesme etkisinin perde duvarlara aktarılmasını sağlayarak, perde duvarların eğilme rıjtliğinin artmasına sebep olmaktadır. Buna ilaveten bağ kirişleri, aşırı plastik deformasyonlara maruz kalarak sismik enerjisinin yutulmasını sağlarlar. Bağ kirişlerinin tasarımindında amaç, bağ kirişlerinin sünek davranışmasını, sismik yükler etkisi altında fazla dönme yapabilmesini ve daha fazla enerji tüketilmesini sağlayabilmektir [3]. Bağ kirişli betonarme perde duvarlar, orta ve yüksek katlı binalarda kullanılmaktadır. Bu tip taşıyıcı sistemler günümüzdeki yaygın olarak kullanılan sistemlerden biridir [4]. Boşluklu perde duvarlı taşıyıcı sistemlerde, sismik kuvvetler, perde duvarları ve bağ kirişleri tarafından bir çerçeve sistemi gibi karşılanmaktadır. Bu nedenle bağ kirişleri ve perde duvarları uygun bir şekilde tasarlanması gerekmektedir [5].

Türkiye Bina Deprem Yönetmeliği (TBDY, 2018)'de sünek elemanlar için kesit düzeyinde üç hasar durumu ve hasar sınırı tanımlanmıştır. Bunlar Sınırlı Hasar (SH), Kontrollü Hasar (KH) ve Göçme Öncesi Hasar (GÖ) durumları ve bunların sınır değerleridir. Sınırlı hasar ilgili kesitte sınırlı miktarda elastik ötesi davranış, kontrollü hasar kesit dayanımının güvenli olarak sağlanabileceği elastik ötesi davranış, göçme öncesi hasar durumu ise kesitte ileri düzeyde elastik ötesi davranış tanımlamaktadır. Gevrek olarak hasar gören elemanlarda bu sınıflandırma geçerli değildir [6].

Bu çalışmada; C30 ve C45 beton sınıfı, farklı çekme ve basınç donatısı oranlarına ve farklı net açıklık/derinlik oranına sahip geleneksel donatılmış betonarme bağ kirişlerinin moment-eğrilik ilişkisi değerleri SAP 2000 [7] programı ile hesaplanmıştır. TBDY 2018'e göre KH performans düzeyi GÖ performans seviyesinin %75'i olarak tanımlanmıştır. SH performans düzeyinde ise beton ve donatı çeliği için verilen birim kısalma ve uzaması sabit olarak verilmiştir. SH performans düzeyi için taşıyıcı sisteme plastik mafsal oluşumuna izin verilmemiştir ( $\theta_p^{(SH)} = 0$ ). Elde edilen moment ve eğrilik değerlerinden yararlanarak TBDY (2018)'e göre kesit hasar sınırları hesaplanmıştır. Bunun için 6 tip toplam 30 adet geleneksel donatılmış betonarme bağ kirişi tasarlanmıştır. Tip-1, 2 ve 3 olan betonarme bağ kirişlerde C30, Tip 4, 5 ve 6 olan betonarme bağ kirişlerde C45 beton sınıfları ve B420C donatı sınıfı kullanılmıştır. Tip-1, 2, 3, 4, 5 ve 6 olan geleneksel donatılmış betonarme bağ kirişlerde değişen parametreler; beton sınıfı, çekme ve basınç donatı oranı ve net açıklık/derinlik oranıdır. Tüm elemanlarda 10mm çapında 50mm aralığında ( $\Phi 10/50mm$ ) etriyeler ele alınarak hasar sınırları TBDY 2018'e göre hesaplanmıştır. Çalışmada değişen parametrelerin hasar sınırlarına etkisi araştırılmıştır. TBDY 2018'e göre, GÖ performans hasar sınırları izin verilen beton birim kısalmaları ( $\varepsilon_c^{(GÖ)}$ ), donatı çeliği için izin verilen birim uzamaları ( $\varepsilon_s^{(GÖ)}$ ) ve izin verilen performans dönme açıları ( $\theta_p^{(GÖ)}$ ) hesaplanmıştır [6].

## II. TBDY 2018'E GÖRE İZİN VERİLEN ŞEKİL DEĞİŞTİRME HASAR SINIRLARI

Göçme önlenmesi, kontrolü hasar ve sınırlı hasar performans düzeyi için yapılacak performans değerlendirmesinde kullanılmak üzere, yüksek binalar ve yeni betonarme bina elemanlarında yayılı plastik davranış modeline göre hesaplanan beton ve donatı çeliği toplam birim şekil değiştirmeleri için izin verilen hasar sınırları aşağıda tanımlanmıştır. GÖ, KH ve SH performans düzeyi için beton birim kısalması

$(\varepsilon_c^{(GÖ)}, \varepsilon_c^{(KH)} ve \varepsilon_c^{(SH)})$ , donatı çeliği birim uzaması  $(\varepsilon_s^{(GÖ)}, \varepsilon_s^{(KH)} ve \varepsilon_s^{(SH)})$  ve izin verilen plastik dönme sınırları  $(\theta_p^{(GÖ)}, \theta_p^{(KH)} ve \theta_p^{(SH)})$  dikdörtgen en-kesitli kolon, kiriş ve perdeler için Tablo (1)'de verilen denklemler ile hesaplanmaktadır.

**Tablo 1.** Betonarme elemanları için izin verilen şekil değiştirme üst sınırların denklemleri [6]

<b>Betonarme Elemanları İçin Izin Verilen Şekil Değiştirme ve İç Kuvvet Sınırları</b>	
Göçme Öncesi Hasar (GÖ)	
$\varepsilon_c^{(GÖ)} = 0.0035 + 0.04\sqrt{\omega_{we}} \leq 0.018$ ,	$\varepsilon_s^{(GÖ)} = 0.40\varepsilon_{su}$ , $\theta_p^{(GÖ)} = \frac{2}{3}[(k_u - k_y)L_p(1 - 0.5\frac{L_p}{L_s}) + 4.5k_ud_b]$
$\omega_{we} = \alpha_{se}\rho_{sh,min}\frac{f_{yw,e}}{f_{ce}}$ , $\rho_{sh} = \frac{A_{sh}}{b_k s}$ , $\alpha_{se} = \left(1 - \frac{\sum a_i^2}{6b_0 h_0}\right)\left(1 - \frac{s}{2b_0}\right)\left(1 - \frac{s}{2h_0}\right)$	
Kontrollü Hasar (KH)	
$\varepsilon_c^{(KH)} = 0.75\varepsilon_c^{(GÖ)}$ ,	$\varepsilon_s^{(KH)} = 0.75\varepsilon_s^{(GÖ)}ve\theta_p^{(KH)} = 0.75\theta_p^{(GÖ)}$
Sınırlı Hasar (SH),	
$\varepsilon_c^{(SH)} = 0.0025$ , $\varepsilon_s^{(SH)} = 0.0075 ve\theta_p^{(SH)} = 0$	

Tablo 1'de verilen  $\varepsilon_c^{(GÖ)}, \varepsilon_c^{(KH)} ve \varepsilon_c^{(SH)}$  sırasıyla GÖ, KH ve SH performans düzeyi için izin verilen beton birim şekil değiştirmesidir.  $\varepsilon_s^{(GÖ)}, \varepsilon_s^{(KH)} ve \varepsilon_s^{(SH)}$  sırasıyla GÖ, KH ve SH performans düzeyi için izin verilen donatı birim şekil değiştirmesini göstermektedir.  $\theta_p^{(GÖ)}, \theta_p^{(KH)} ve \theta_p^{(SH)}$  sırasıyla göçmenin önlenmesi, kontrolü hasar ve sınırlı hasar performans düzeyi için izin verilen dönme açılarıdır. Tablo (1)'de verilen denklemlerde  $\omega_{we}$  etkin sargı donatısının mekanik donatı oranını,  $\varepsilon_{su}$  donatının çekme dayanımına karşı gelen birim uzamasını,  $k_u$  maksimum eğriliğini,  $k_y$  akma eğriliğini,  $L_p$  plastik mafsal uzunluğunu,  $L_s$  kesme açıklığını ve  $d_b$  boyuna donatı çapını göstermektedir. Hesaplarda yönetmeliğe göre boyuna donatı çapı çekme donatısının ortalama çapı olarak tanımlanmaktadır.

GÖ performans düzeyi için izin verilen beton birim kısalması ( $\varepsilon_c^{(GÖ)}$ ) denklemindeki ilk terim (0.0035) sargsız betonun birim kısalmasına karşı gelmektedir. Etkin sargı donatısının mekanik donatı oranı ( $\omega_{we}$ ), sargı donatısı etkinlik katsayısı ( $\alpha_{se}$ ) ve kesitte hacimsel enine donatı oranı ( $\rho_{sh}$ ) Tablo (1)'de verilen denklemler ile hesaplanmıştır. Tablo (1)'de,  $\alpha_{se}$ ,  $\rho_{sh,min}, f_{yw,e}$ ,  $A_{sh}$  ve  $\rho_{sh}$  sırasıyla sargı donatısının etkinlik katsayısını, dikdörtgen kesitte iki yatay doğrultuda hacimsel enine donatı oranının küçük olanını, enine donatının ortalama (beklenen) akma dayanımını, göz önüne alınan doğrultuda enine donatının alanını ve hacimsel oranını göstermektedir. Denklemlerde  $b_k$  dik doğrultudaki çekirdek boyutunu (en dıştaki enine donatı eksenleri arasındaki uzaklık),  $s$  enine donatı aralığını,  $b_o$  ve  $h_o$  sargı donatısı eksenlerinden ölçülen sargılı beton boyutlarını,  $a_i$  bir etriye kolu veya çiroz tarafından mesnetlenen boyuna donatıların eksenleri arasındaki mesafesini göstermektedir. Sınırlı hasar performans düzeyi için taşıyıcı sisteme plastik mafsal oluşumuna izin verilmeyecektir ( $\theta_p^{(SH)} = 0$ ).

Akma durumu için yer değiştirmiş plastik mafsal eksen dönmesi  $\theta_y$  Denklem (1) ile hesaplanmaktadır. Denklem (1)'de  $f_{ce}$  ve  $f_{ye}$  betonun ortalama (beklenen) basınç dayanımı ile donatının ortalama akma dayanımıdır.  $\eta$  katsayısı kiriş ve kolonlarda  $\eta = 1$ , perdelerde ise  $\eta = 0.5$ 'dir. TBDY (2018)'de betonun ortalama (beklenen) basınç dayanımı ve donatının ortalama akma dayanımı  $f_{ce} = 1.3f_{ck}$  ve  $f_{ye} = 1.2f_{yk}$  olarak verilmiştir.  $f_{ck}$  ve  $f_{yk}$  sırasıyla beton karakteristik basınç dayanımı ve donatı çeliği karakteristik akma dayanımıdır.

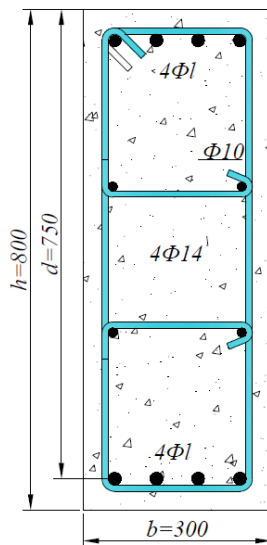
$$\theta_y = \frac{k_y L_s}{3} + 0.0015 \eta \left(1 + 1.5 \frac{h}{L_s}\right) + \frac{k_y d_b f_{ye}}{8\sqrt{f_{ce}}} \quad (1)$$

Bu çalışmada geleneksel donatılmış betonarme bağ kırışlarının deprem performansının belirlenmesi için TBDY, (2018)'de verilen kurallara göre sabit geometriye ve farklı parametrelerle sahip 6 tip toplam 30 adet bağ

kiriş modeli tasarılanmıştır (Çizelge 3 ve 4). Tasarlanan geleneksel donatılmış betonarme bağ kirişlerde gerçek malzeme davranışları esas alınmıştır. Geleneksel donatılmış betonarme bağ kirişlerde farklı beton basıncı dayanımı, çekme ve basınç donatısı oranı ve net açıklık/derinlik oranına göre moment-eğrilik ilişkilerinden; akma eğriliği ( $k_y$ ), akma momenti ( $M_y$ ), göçme öncesi eğriliği ( $k_u$ ), göçme öncesi eğilme momenti ( $M_u$ ) ve eğilik sünekliği ( $\mu$ ) değerleri elde edilmiştir. Betonarme kiriş modellerinin moment-eğrilik ilişkilerinden elde edilen sonuçlara göre kiriş kesitlerinin davranışları incelenmiştir. Geleneksel donatılmış betonarme bağ kiriş modellerinde yapılan performans değerlendirmesinde GÖ, KH ve SH performans seviyeleri için şekil değiştirme ve iç kuvvet sınır değerleri hesaplanmıştır. Geleneksel donatılmış betonarme bağ kiriş elemanlarında sargı donatısı oranı sabit tutularak, farklı parametre olarak net açıklık/derinlik oranı, çekme ve basınç donatısı oranı ve beton basınç dayanımı ele alınmıştır. Geleneksel donatılmış betonarme bağ kirişlerinin beton ve donatı çeliği birim şekil değiştirmeleri, plastik mafsal akma dönmesi ve plastik dönümleri hesaplanarak bağ kiriş kesitlerinin performans düzeyleri araştırılmıştır. Çalışmada çekme ve basınç donatısı miktarı (4Φ20, 4Φ26 ve 4Φ32) değişilerek enine donatı çapı ve aralığı Φ10/50mm olarak sabit alınmıştır. Net açıklık-derinlik oranı ( $l_n/h = 2, 2.5, 3, 3.5 \text{ ve } 4$ ) ve beton sınıfı C30 ve C45 değiştirilerek parametrik çalışma yapılmıştır.

Geleneksel donatılmış betonarme bağ kirişlerde süneklik oranı, kesitin dayanımında önemli bir azalma olmadan yapabileceğİ doğrusal ötesi deformasyon kapasitesi olarak tanımlanır. Eğilme etkisi altındaki elemanların sünekliği, eğilik süneklik katsayısı ( $\mu$ ) Denklem (2) ile hesaplanmaktadır. Eğilik süneklik katsayısı, kesitin kırılma anında yaptığı eğriliğin ( $k_u$ ), çekme donatısının aktığı anda kesitte oluşan eğriliğe ( $k_y$ ) oranıdır [8].

$$\mu = \frac{k_u}{k_y} \quad (2)$$



**Şekil 1.** Geleneksel donatılmış betonarme bağ kirişlerinin en-kesit boyutları ve donatı düzeni

### III. MATERİYAL VE METOT

Geleneksel donatılmış betonarme bağ kiriş modellerinde moment-eğrilik analizlerinden  $M_y$ ,  $k_yM_u$ ,  $k_u$  ve  $\mu$  değerleri hesaplanmıştır. Moment ve eğilik değerleri SAP 2000 fiber analiz modellerinden elde edilmiştir. Geleneksel donatılmış betonarme bağ kirişlerinin hasar sınırları TBDY 2018'e göre hesaplanmıştır. Şekil değerlendirme ve iç kuvvet sınırlarının hesaplanmasında TBDY, (2018)'de tanımlanmış üç farklı hasar sınırı olan GÖ, KH ve SH performans seviyeleri göz önünde bulundurulmuştur. Geleneksel donatılmış betonarme bağ kirişlerinde farklı performans seviyesi için oluşan şekil değerlendirme ve iç kuvvet sınırları hesaplanarak Çizelgeler

ve Grafikler halinde sunulmuştur. Birim şekil değiştirme istemlerinin belirlenmesi plastik şekil değiştirmelerin meydana geldiği betonarme sünek taşıyıcı sistem elemanlarında, farklı kesit hasar sınırlarında GÖ, KH ve SH performans düzeyleri için izin verilen beton ve donatı çeliği şekil değiştirme üst sınırları hesaplanmıştır. Yığılı plastik davranışına göre modellenen geleneksel donatılmış betonarme bağ kirişlerinin moment-eğrilik ilişkilerinden elde edilen  $k_y$  ve  $k_u$  değerlerine göre plastik mafsal dönümleri hesaplanmıştır. Geleneksel donatılmış betonarme bağ kirişlerde çekme ve basınç donatısı miktarı 4Φ20mm, 4Φ26mm ve 4Φ32mm, enine donatı çapı Φ10mm ve aralığı 50mm (Φ10/50mm) olarak belirlenerek beton sınıfı C30 ve C45 olarak seçilmiştir. Tüm elemanlarda boyuna ve enine donatı çeliği olarak B420C donatı sınıfı seçilmiştir. Geleneksel donatılmış betonarme bağ kirişlerinin tasarımda kullanılan malzeme özellikleri Tablo (2)'de, verilmiştir. Bağ kirişlerinin çekme ve basınç donatısı oranları ve modellerinde kullanılan parametreler sırasıyla Tablo (3) ve (4)'te verilmiştir.

**Tablo 2.** Malzeme modellerinde kullanılan parametreler (TBDY, 2018)

Malzeme	Parametre	Değer
Beton Sınıfı: C30,45	Sargsız betonun maksimum gerilmeye ulaştığı birim şekil değiştirme değeri ( $\varepsilon_{co}$ )	0.002
	Sargsız betonun nihai birim şekil değiştirmesi ( $\varepsilon_{cu}$ )	0.0035
	Karakteristik beton basınç dayanımı ( $f_{ck}$ )	30,45 MPa
Donatı Çeliği: B420C	Donatı çeliğinin akma birim şekil değiştirmesi ( $\varepsilon_{sy}$ )	0.0021
	Donatı çeliğinin pekleşme birim şekil değiştirmesi ( $\varepsilon_{sp}$ )	0.008
	Donatı çeliğinin kopma birim şekil değiştirmesi ( $\varepsilon_{su}$ )	0.08
	Donatı çeliğinin karakteristik akma dayanımı ( $f_{yk}$ )	420 MPa
	Donatı çeliğinin karakteristik kopma dayanımı ( $f_{su}$ )	550 MPa

**Tablo 3.** Tip-1, 2 ve 3 olarak tasarlanan bağ kiriş modellerine ait donatı oranları ve alanları

Kesit Grubu	Kesit No	$l_n/h$	Beton Sınıfı	$A_s$ (mm <sup>2</sup> )	$A'_s$ (mm <sup>2</sup> )	$\rho = \rho'$
Tip-1	B1-1	2.0		4Φ20	4Φ20	0.005585
	B1-2	2.5				
	B1-3	3.0				
	B1-4	3.5				
	B1-5	4.0				
Tip-2	B2-1	2.0		4Φ26	4Φ26	0.009439
	B2-2	2.5				
	B2-3	3.0				
	B2-4	3.5				
	B2-5	4.0				
Tip-3	B3-1	2.0		4Φ32	4Φ32	0.01430
	B3-2	2.5				
	B3-3	3.0				
	B3-4	3.5				
	B3-5	4.0				

**Tablo 4.** Tip-4, 5 ve 6 olarak tasarlanan bağ kırış modellerine ait donatı oranları ve alanları

Kesit Grubu	Kesit No	$l_n/h$	Beton Sınıfı	$A_s$ (mm <sup>2</sup> )	$A'_s$ (mm <sup>2</sup> )	$\rho = \rho'$
Tip-4	B4-1	2.0		4Φ20 1256.6	4Φ20 1256.6	0.005585
	B4-2	2.5				
	B4-3	3.0				
	B4-4	3.5				
	B4-5	4.0				
Tip-5	B5-1	2.0	45	4Φ26 2123.7	4Φ26 2123.7	0.009439
	B5-2	2.5				
	B5-3	3.0				
	B5-4	3.5				
	B5-5	4.0				
Tip-6	B6-1	2.0		4Φ32 3217	4Φ32 3217	0.01430
	B6-2	2.5				
	B6-3	3.0				
	B6-4	3.5				
	B6-5	4.0				

#### IV. ARAŞTIRMA BULGULARI

Detayları Tablo (3 ve 4)'te verilen ve tip 1, 2, 3, 4, 5 ve 6 olarak tasarlanan geleneksel donatılmış betonarme bağ kırışı modelleri için moment-eğrilik analizlerinden akma ve maksimum moment ve eğrilik değerleri hesaplanmıştır. Doğrusal olmayan davranışın iyi anlaşılması için bağ kırışlarının uçlarına yakın bölgelerde yığılı plastik mafsal oluştuğu varsayılmıştır. Yığılı plastik davranışına göre modellenen betonarme bağ kırışının  $M_y$ ,  $k_y$ ,  $M_u$ ,  $k_u$ ,  $\mu$  ve  $\theta_y$  değerleri hesaplanarak Tablo (5 ve 7)'de verilmiştir. Farklı tip betonarme bağ kırışının değişen parametrelerle göre hesaplanan ( $\varepsilon_c^{(SH)}$ ), ( $\varepsilon_s^{(SH)}$ ), ( $\theta_p^{(SH)}$ ), ( $\varepsilon_c^{(KH)}$ ), ( $\varepsilon_s^{(KH)}$ ), ( $\theta_p^{(KH)}$ ), ( $\varepsilon_c^{(GÖ)}$ ), ( $\varepsilon_s^{(GÖ)}$ ) ve ( $\theta_p^{(GÖ)}$ ) değerleri Tablo (6 ve 8)'de özetlenmiştir. Tablolarda  $M_y$ ,  $M_u$  değerleri;  $kN \times m$ ,  $K_y$ ,  $K_u$  değerleri;  $Rad \times 1000/m$  ve Etkin eğilme rıjittiği değerleri;  $kN \times m^2$  biriminde verilmiştir.

Geleneksel donatılmış betonarme bağ kırışı kesitlerinin analiz ve hesap sonuçlarından elde edilen değerler karşılaştırmalı olarak Şekil (2, 3, 4, 5 ve 6)'da verilmiştir. Betonarme bağ kırışı modellerinde elde edilen GÖ ve KH performans düzeyi için izin verilen sargılı beton birim kısalması ( $\varepsilon_c^{(GÖ)}, \varepsilon_c^{(KH)}$ ) değerlerinin net açıklık/derinlik oranına göre karşılaştırmalı grafikleri Şekil (2 ve 3)'te verilmiştir. GÖ ve KH performans düzeyi için izin verilen plastik dönme açılarının ( $\theta_p^{(GÖ)}, \theta_p^{(KH)}$ ) net açıklık/derinlik oranına göre karşılaştırmalı grafikleri Şekil (4 ve 5)'te verilmiştir. Akma durumu dönme açısı ( $\theta_y$ ) net açıklık/derinlik oranına göre karşılaştırmalı grafikleri Şekil (6)'da verilmiştir.

TBDY (2018)'de donatı çeliği için göçme öncesi ve kontrollü hasar performans düzeylerinde verilen hasar sınırları ( $\varepsilon_s^{(KH)}, \varepsilon_s^{(GÖ)}$ ), donatı çeliğinin çekme dayanımına karşı gelen birim uzama değerini sabit katsayılar ile çarparak elde edilmektedir ( $\varepsilon_s^{(GÖ)} = 0.4\varepsilon_{su}$ ,  $\varepsilon_s^{(KH)} = 0.75\varepsilon_s^{(GÖ)}$ ). Sınırlı hasar performans düzeyi için verilen hasar sınırı ise sabit bir değer olarak verilmektedir ( $\varepsilon_s^{(SH)} = 0.0075$ ). Sınırlı hasar performans düzeyi için izin verilen beton birim kısalması TBDY 2018'e göre sabit değer olarak verilmektedir ( $\varepsilon_c^{(SH)} = 0.0025$ ). Göçme öncesi ve kontrollü hasar performans düzeyi için verilen plastik dönme hasar sınırları  $\theta_p$ ;  $k_y$ ,  $k_u$ ,  $L_p$ ,  $L_s$  ve  $d_b$ 'nin fonksiyonudur. Dolayısıyla basınç donatısı oranı, sargı donatısı oranı ve çekme donatısı oranı gibi  $k_y$  ve  $k_u$  değerlerini etkileyen parametreler  $\theta_p$ 'yi de etkilemektedir. Sınırlı hasar performans düzeyinde taşıyıcı sistemlerde plastik mafsal oluşmasına izin verilmemiş için farklı parametrelere göre betonarme kırış kesitlerinde  $\theta_p^{(SH)} = 0$  elde edilmiştir.

**Tablo 5.** Tip 1, 2 ve 3 olarak tasarlanan betonarme bağ kırışlarının  $M_y$ ,  $k_y$ ,  $M_u$ ,  $k_u$ ,  $\mu$  ve  $\theta_y$  değerleri

Kesit Grubu	Kesit No	Akma Durumu		Kırılma Durumu		$\mu = \frac{k_u}{k_y}$	$\theta_y$
		$M_y$	$k_y$	$M_u$	$k_u$		
Tip-1	B1-1					0.00539	
	B1-2					0.00534	
	B1-3	398	0.0039	485	0.0359	9.2	0.00538
	B1-4					0.00548	
	B1-5					0.00561	
Tip-2	B2-1					0.00576	
	B2-2					0.00572	
	B2-3	638	0.0041	770	0.0355	8.6	0.00578
	B2-4					0.00589	
	B2-5					0.00604	
Tip-3	B3-1					0.00615	
	B3-2					0.00613	
	B3-3	937	0.0043	1126	0.0349	8.0	0.00620
	B3-4					0.00633	
	B3-5					0.00649	

**Tablo 6.** Tip 1, 2 ve 3 olarak tasarlanan betonarme bağ kırışlarının hesaplanan performans seviyeleri

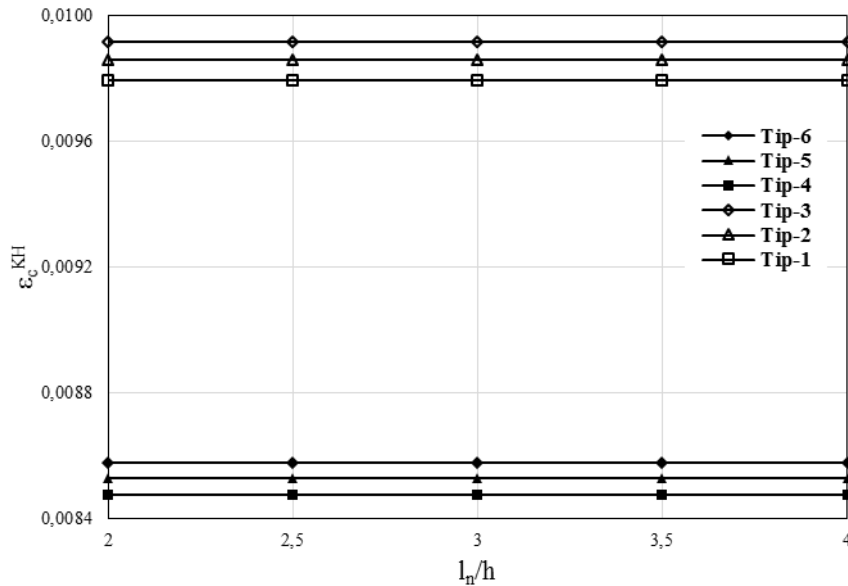
Kesit Grubu	Kesit No	(SH)		(KH)		(GÖ)			
		$\varepsilon_c^{SH}$	$\varepsilon_s^{SH}$	$\theta_p^{SH}$	$\varepsilon_c^{KH}$	$\varepsilon_s^{KH}$	$\theta_p^{KH}$	$\varepsilon_c^{GO}$	$\varepsilon_s^{GO}$
Tip-1	B1-1					0.00648			0.00864
	B1-2					0.00667			0.00889
	B1-3	0.0025	0.0075	0	0.00979	0.024	0.00681	0.01306	0.032
	B1-4					0.00691			0.00921
	B1-5					0.00699			0.00932
Tip-2	B2-1					0.00684			0.00913
	B2-2					0.00703			0.00938
	B2-3	0.0025	0.0075	0	0.00986	0.024	0.00717	0.01314	0.032
	B2-4					0.00727			0.00969
	B2-5					0.00734			0.00979
Tip-3	B3-1					0.00716			0.00954
	B3-2					0.00734			0.00978
	B3-3	0.0025	0.0075	0	0.00991	0.024	0.00747	0.01322	0.032
	B3-4					0.00757			0.01009
	B3-5					0.00764			0.01019

**Tablo 7.** Tip 4, 5 ve 6 olarak tasarlanan betonarme bağ kırışlarının  $M_y$ ,  $k_y$ ,  $M_u$ ,  $k_u$ ,  $\mu$  ve  $\theta_y$  değerleri

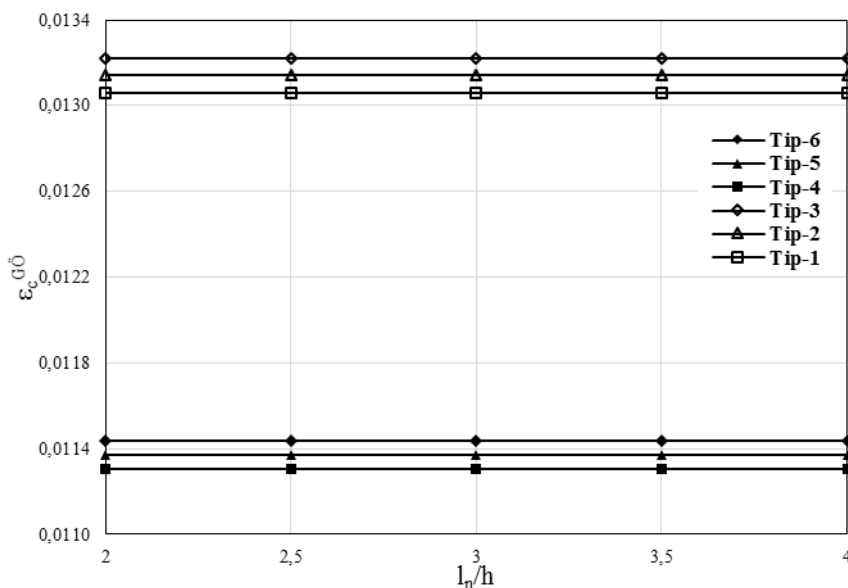
Kesit Grubu	Kesit No	Akma Durumu		Kırılma Durumu		$\mu = \frac{k_u}{k_y}$	$\theta_y$
		$M_y$	$k_y$	$M_u$	$k_u$		
Tip-4	B4-1					0.00520	
	B4-2					0.00514	
	B4-3	400	0.0038	485	0.0362	9.5	0.00518
	B4-4					0.00527	
	B4-5					0.00540	
Tip-5	B5-1					0.00548	
	B5-2					0.00544	
	B5-3	636	0.0040	771	0.0358	9.0	0.00548
	B5-4					0.00559	
	B5-5					0.00572	
Tip-6	B6-1					0.00579	
	B6-2					0.00576	
	B6-3	939	0.0042	1128	0.0353	8.5	0.00582
	B6-4					0.00593	
	B6-5					0.00608	

**Tablo 8.** Tip 4, 5 ve 6 olarak tasarlanan betonarme bağ kırışlarının hesaplanan performans seviyeleri

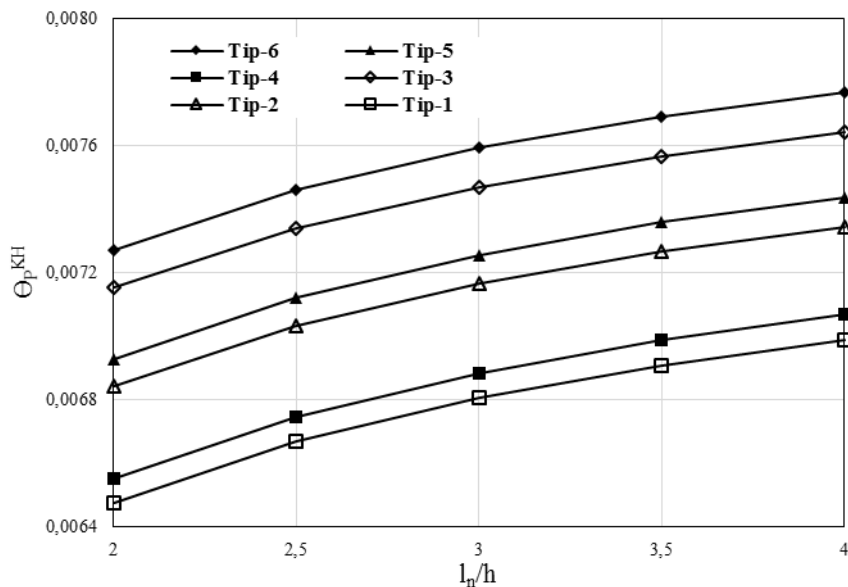
Kesit Grubu	Kesit No	(SH)			(KH)			(GÖ)		
		$\varepsilon_c^{SH}$	$\varepsilon_s^{SH}$	$\theta_p^{SH}$	$\varepsilon_c^{KH}$	$\varepsilon_s^{KH}$	$\theta_p^{KH}$	$\varepsilon_c^{GÖ}$	$\varepsilon_s^{GÖ}$	$\theta_p^{GÖ}$
Tip-4	B4-1							0.00655		0.00873
	B4-2							0.00675		0.00899
	B4-3	0.0025	0.0075	0	0.00848	0.024	0.00688	0.01130	0.032	0.00918
	B4-4							0.00699		0.00932
	B4-5							0.00707		0.00942
Tip-5	B5-1							0.00693		0.00924
	B5-2							0.00712		0.00949
	B5-3	0.0025	0.0075	0	0.00853	0.024	0.00726	0.01137	0.032	0.00967
	B5-4							0.00736		0.00981
	B5-5							0.00744		0.00991
Tip-6	B6-1							0.00727		0.00970
	B6-2							0.00746		0.00994
	B6-3	0.0025	0.0075	0	0.00858	0.024	0.00759	0.01144	0.032	0.01012
	B6-4							0.00769		0.01025
	B6-5							0.00777		0.01036



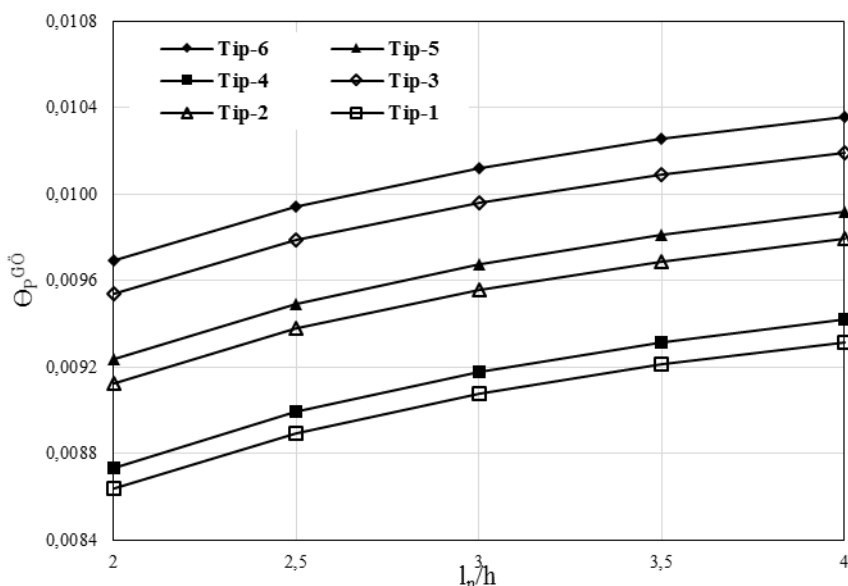
Şekil 2. Betonarme bağ kirişlerinin  $\varepsilon_c^{KH}$  –  $l_n/h$  değerlerinin karşılaştırılmış grafikleri



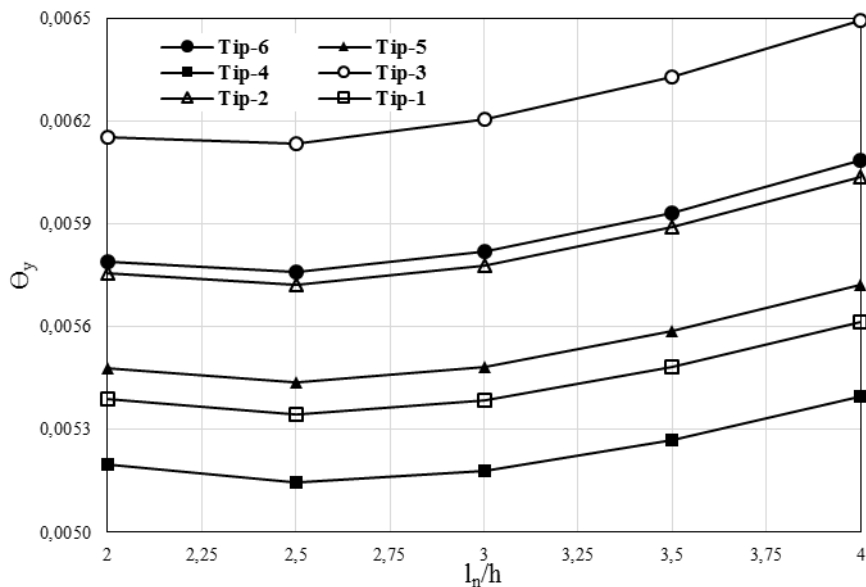
Şekil 3. Betonarme bağ kirişlerinin  $\varepsilon_c^{GO}$  –  $l_n/h$  değerlerinin karşılaştırılmış grafikleri



Şekil 4. Betonarme bağ kırışlarının  $\theta_p^{KH}$  –  $l_n/h$  değerlerinin karşılaştırılmalı grafikleri



Şekil 5. Betonarme bağ kırışlarının  $\theta_p^{GO}$  –  $l_n/h$  değerlerinin karşılaştırılmalı grafikleri



Şekil 6. Betonarme bağ kırışlarının  $\theta_y - l_n/h$  değerlerinin karşılaştırılmalı grafikleri

Geleneksel donatılmış betonarme bağ kırışların hasar sınırlarını tanımlayan birim şekil değerlendirme ve iç kuvvet değerleri TBDY 2018'e göre hesaplanmıştır. Hesaplanan hasar sınırları diğer bir deyişle izin verilen beton birim kısalması, donatı çeliğin birim uzaması ve izin verilen dönme açıları Tablo (6 ve 8)'de verilmiştir. Araştırma bulgular bölümünde, betonarme bağ kırışlarının davranışının elde edilen yorum ve değerlendirmeler araştırma sonuçları bölümünde karşılaştırarak yorumlanmıştır.

## V. SONUÇ

Araştırma bulgular bölümünde geleneksel donatılmış betonarme bağ kırışlarının hasar sınırlarının sonuçları maddeler halinde aşağıda verilmiştir.

Geleneksel donatılmış betonarme bağ kırışlarında; beton basınç dayanımının artması ile:

- Akma momenti ( $M_y$ ) ve maksimum moment ( $M_u$ ) değerleri yaklaşık olarak sabit kalmaktadır.
- Akma eğriliği ( $k_y$ ) %2,6 azalmakta ve maksimum momente karşı gelen eğrilik ( $k_u$ ) değerleri %0,83 artmaktadır.
- Eğrilik süneklik ( $\mu$ ) değerleri yaklaşık %3,26 artmaktadır.
- Plastik mafsal akma dönmesi ( $\theta_y$ ) değerleri %3,5'den %5,85'e kadar azalmaktadır.
- Kontrollü hasar ve Göçme öncesi performans düzeyinde izin verilen beton birim kısalması ( $\varepsilon_c^{(KH)}$  ve  $\varepsilon_c^{(GÖ)}$ ) değerleri %13,4'ten %13,48'e kadar azalmaktadır.
- Kontrollü hasar ve Göçme öncesi performans düzeyinde izin verilen plastik mafsal dönmesi değerleri ( $\theta_p^{(KH)}$  ve  $\theta_p^{(GÖ)}$ ) sırasıyla %1,07'den %1,84'e ve %1,03'ten %1,64'e kadar artmaktadır.

Geleneksel donatılmış betonarme bağ kırışlarında; net açıklık derinlik oranının artması ile:

- Akma ve maksimum moment taşıma kapasitesi ( $M_y$ ,  $M_u$ ), akma ve maksimum momente karşı gelen eğrilikleri ( $k_y$ ,  $k_u$ ) ve eğrilik süneklik ( $\mu$ ) değerleri sabit kalmaktadır.
- Net açıklık/derinlik oranı 2 ve 2.5 arasında olan betonarme bağ kırışlarında plastik mafsal akma dönme açısı değerleri ( $\theta_y$ ) %0,32'den %1,15'e kadar azalmaktadır.

- Net açıklık derinlik oranı 2,5 ve 4 arasında olan betonarme bağ kirişlerde plastik mafsal akma dönme açısı değerleri ( $\theta_y$ ) %3,7'den %5,29'e kadar artmaktadır.
- KH ve GÖ performans düzeyi için beton birim kısalması ( $\varepsilon_c^{(KH)}$  ve  $\varepsilon_c^{(GÖ)}$ ) değerleri sabit kalmaktadır.
- KH ve GÖ düzeyleri için izin verilen dönme açısı değerleri ( $\theta_p^{(KH)}$  ve  $\theta_p^{(GÖ)}$ ) sırasıyla %6,28'den %11,7 ve %6,37'den %7,32'ye kadar artmaktadır.

Geleneksel donatılmış betonarme bağ kirişlerinde; çekme ve basınç donatısı oranı artması ile:

- Akma momenti ( $M_y$ ) %135, maksimum moment ( $M_u$ ) %132,2 ve akma eğriliği ( $k_y$ ) %9,3'ten %10,5'e kadar değerleri artmaktadır.
- Maksimum momente karşı gelen eğrilik ( $k_u$ ) %2,55'ten %2,86 ve eğrilik sürekliği ( $\mu$ ) %11,76'dan %15'e kadar değerleri azalmaktadır.
- Plastik mafsal akma dönmesi ( $\theta_y$ ) %11,3'ten %15,7'ye kadar değerleri artmaktadır.
- Kontrollü hasar ve göçme öncesi performans düzeyinde izin verilen beton birim kısalması ( $\varepsilon_c^{(KH)}$  ve  $\varepsilon_c^{(GÖ)}$ ) sırasıyla %1,2 ve %1,24 değerleri artmaktadır.
- Kontrollü hasar ve göçme öncesi performans düzeyinde izin verilen dönme açıları ( $\theta_p^{(KH)}$  ve  $\theta_p^{(GÖ)}$ ) sırasıyla %9,3'ten %10,99 ve %9,33'ten %11,11'e kadar değerleri artmaktadır.

Beton basınç dayanımın artırılması, geleneksel donatılmış betonarme bağ kirişlerin akma momentine ( $M_y$ ), kırılma momentine ( $M_u$ ), kontrollü hasar ve göçmenin önlenmesi performans düzeyi dönme açılarına ( $\theta_p^{(KH)}$  ve  $\theta_p^{(GÖ)}$ ) etkili olduğu ispatlanmıştır.

Geleneksel donatılmış betonarme bağ kirişlerinin net açıklık derinlik/oranın artırılması; KH ve GÖ performans düzeyleri için izin verilen plastik dönme açılarına ( $\theta_p^{(KH)}$  ve  $\theta_p^{(GÖ)}$ ) ve akma durumu için yer değiştirmiş eksen dönmesi üzerine ( $\theta_y$ ) etkili olduğunu gözlemlenmiştir.

Çekme ve basınç donatısı oranı artırılması, geleneksel donatılmış betonarme bağ kirişlerin akma ve maksimum moment taşıma kapasitesine, akma eğriliğine, akma dönme açısına, kontrollü hasar ve göçme öncesinin performans seviyesinde izin verilen beton birim kısalmasına ve dönme açılarına etkili olduğunu ispatlanmıştır.

## KAYNAKLAR

- [1] Ersoy, U. ve Özcebe G. (1998). Sarılmış Betonarme Kesitlerde Moment-Eğrilik İlişkisi Analitik Bir İnceleme. *Teknik Dergi*, 9(4), 1998-1827.
- [2] Sönmez, İbrahim K, 2010. “*Betonarme Yapı Sistemlerinde Yapısal Performans Düzeyini Belirleyen bir Bilgisayar Programı Geliştirilmesi*”, Yüksek Lisans Tezi, İTÜ Fen Bilimleri Enstitüsü.
- [3] S. F Breña, O. Ihtiyar, “*Performance of conventionally reinforced coupling beams subjected to cyclic loading*”. J StructEng, 137:665–76, 2011.
- [4] S. El-Tawil, K. A. Harries, P. J. Fortney, B. M. Shahrooz, and Y. Kurama, “Seismic design of hybrid coupled wall systems: state of the art” *Journal of structural engineering*, vol. 136, no. 7, pp. 755–769, 2010.
- [5] C.-C. Hung and W.-T. Lu, “A performance-based design method for coupled wall structures,” *Journal of Earthquake Engineering*, vol. 21, no. 4, pp. 579–603, 2016.
- [6] TBDY, 2018, *Türkiye Bina Deprem Yönetmeliği*, T.C. Bayındırlık ve İskân Bakanlığı, Ankara.
- [7] SAP2000. *Structural software for analysis and design*, Computers and Structures, Inc. Version 20.0.0. USA.

- [8] Çağlar, N., Akkaya, A., Demir, A., Öztürk, H., 2004. *Farklı Kesit Geometrilerine Sahip Betonarme Kolonların Davranışının İncelenmesi*, ISITES2014, p. 2095-2105, Karabük/Türkiye.
- [9] TS500, 2000, *Betonarme Yapıların Tasarım ve Yapım Kuralları*, Türk Standartları Enstitüsü, TSE, Ankara.